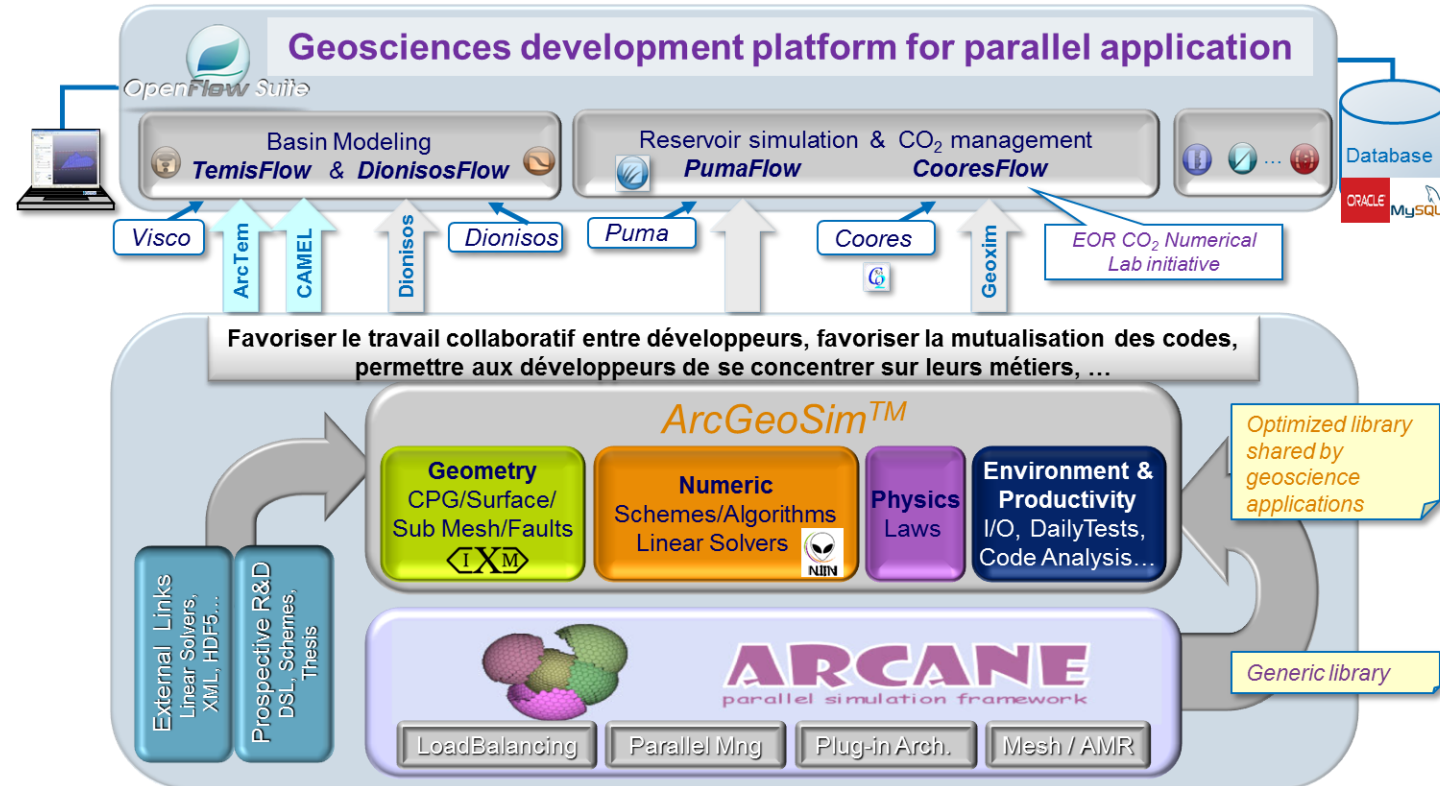


INFERENCES - RESEAUX DE NEURONES LOIS PHYSIQUES

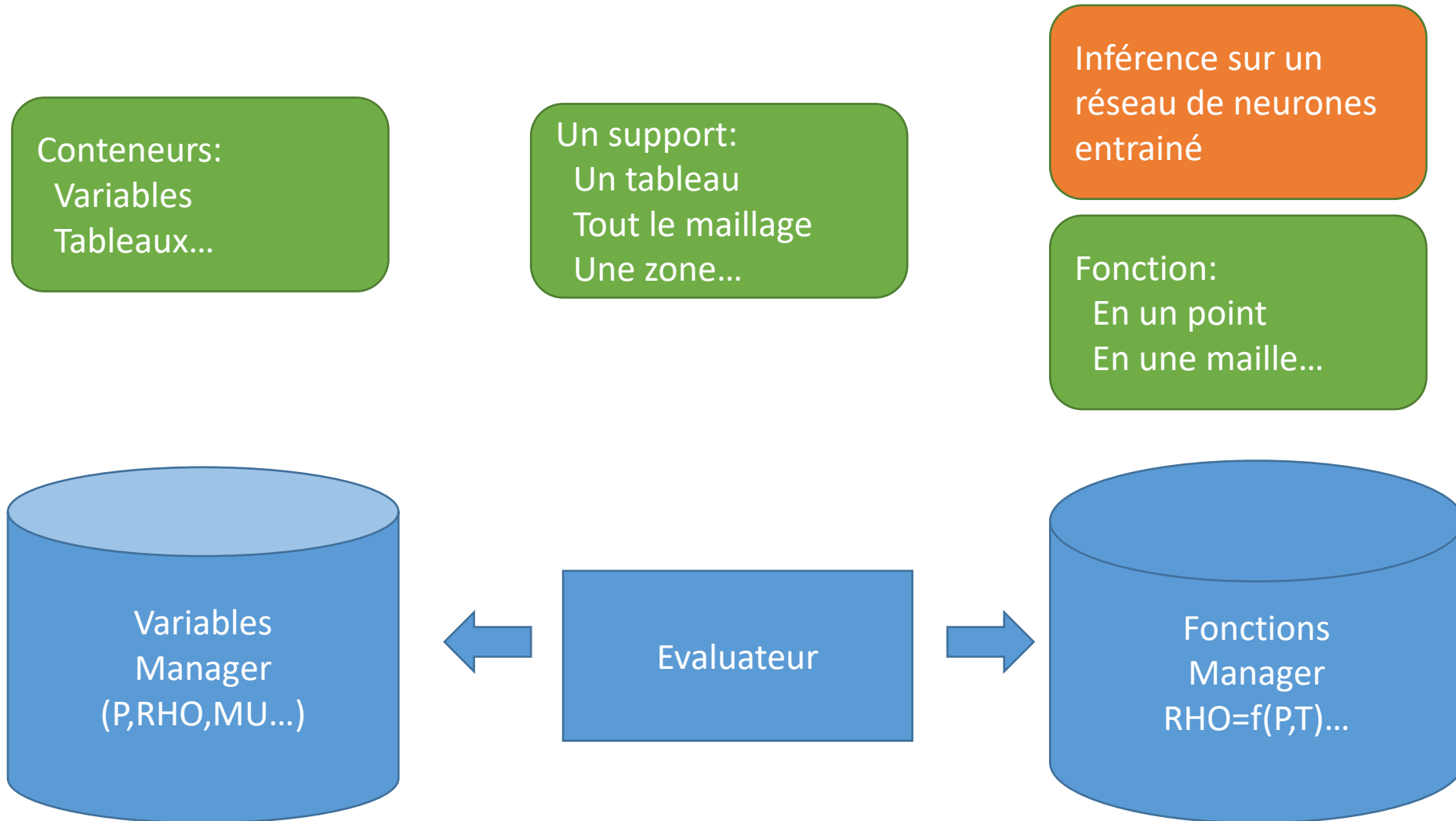
K. KADI - R. GAYNO
R. LEMORE - I. FAILLE
17-04-2023



LOIS - ARCGEOSIM - APPLICATIONS



LOIS PHYSIQUE API



SÉLECTION D'UN FRAMEWORK D'INFÉRENCE C++



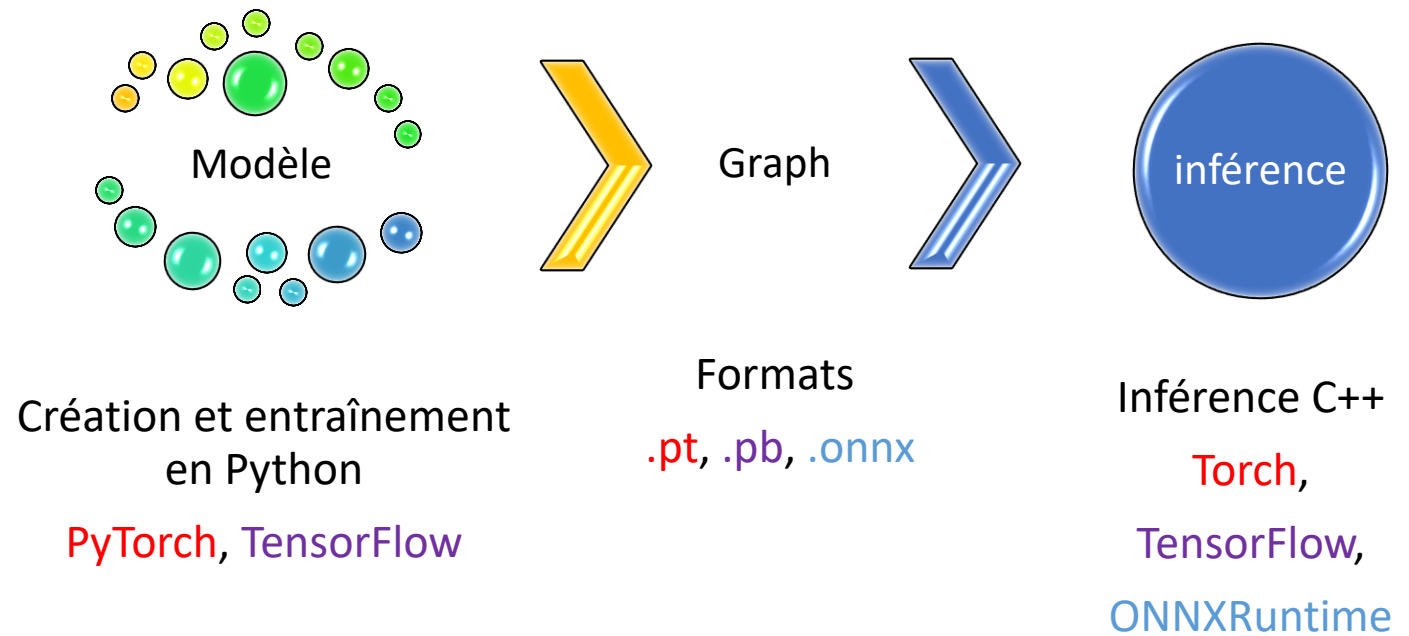
SÉRIALISATION ET INFÉRENCES

- **Sérialiser :**

écrire le modèle d'une manière sérielle structurée sous forme de dictionnaire

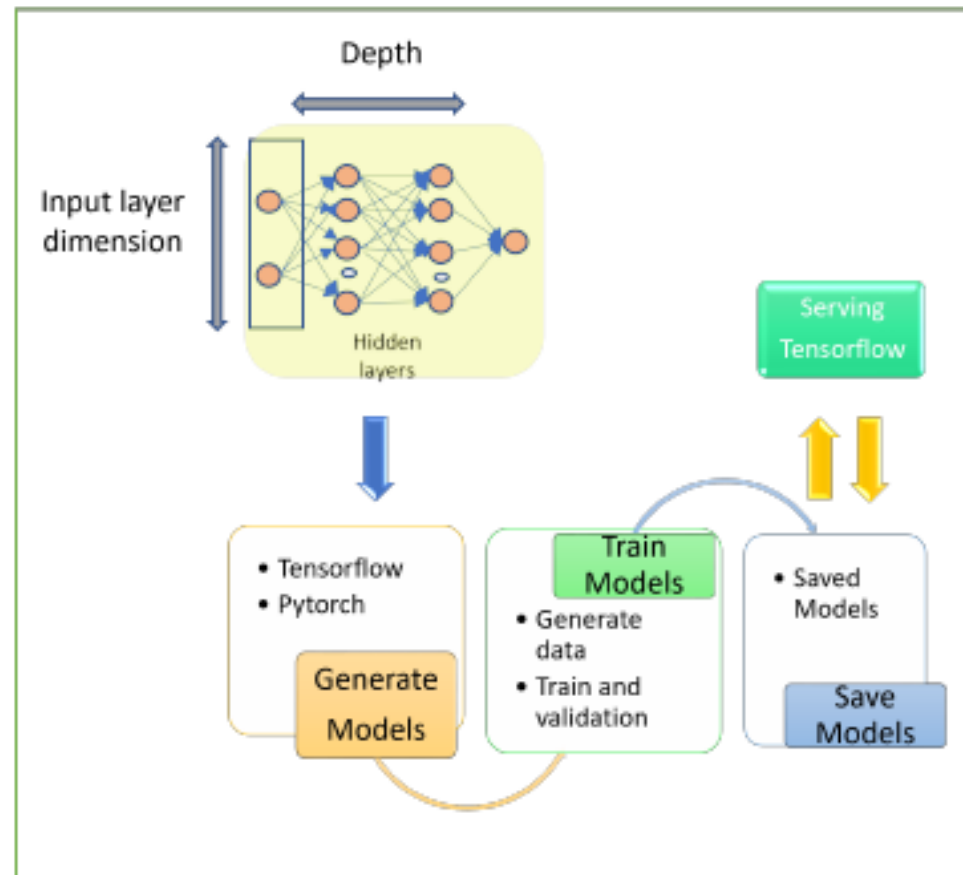
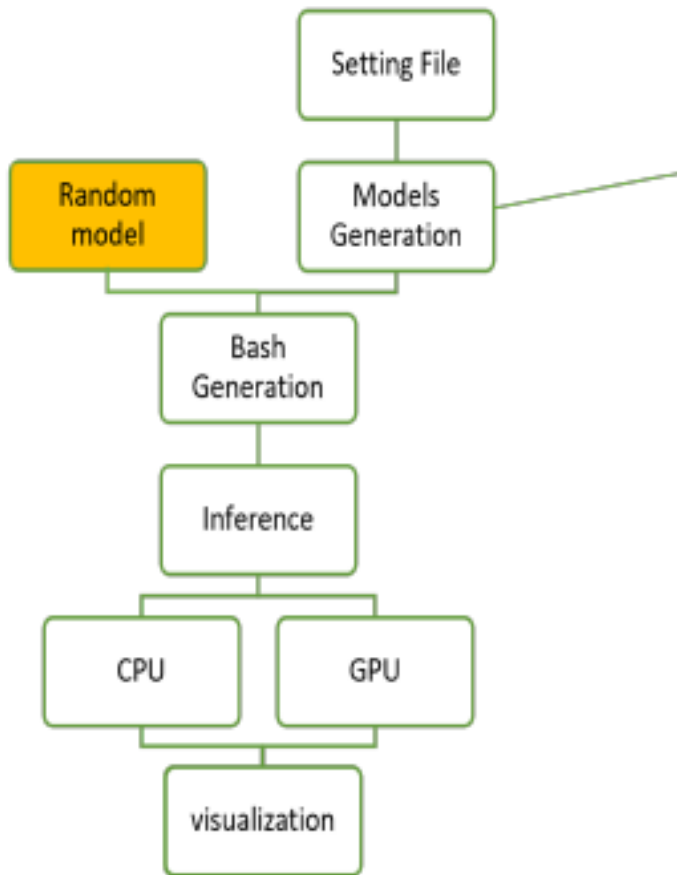
- **Inférer :**

désérialiser le modèle et de le remettre sous sa forme initiale de graph puis de faire des prédictions avec différentes entrées et obtenir les réponses



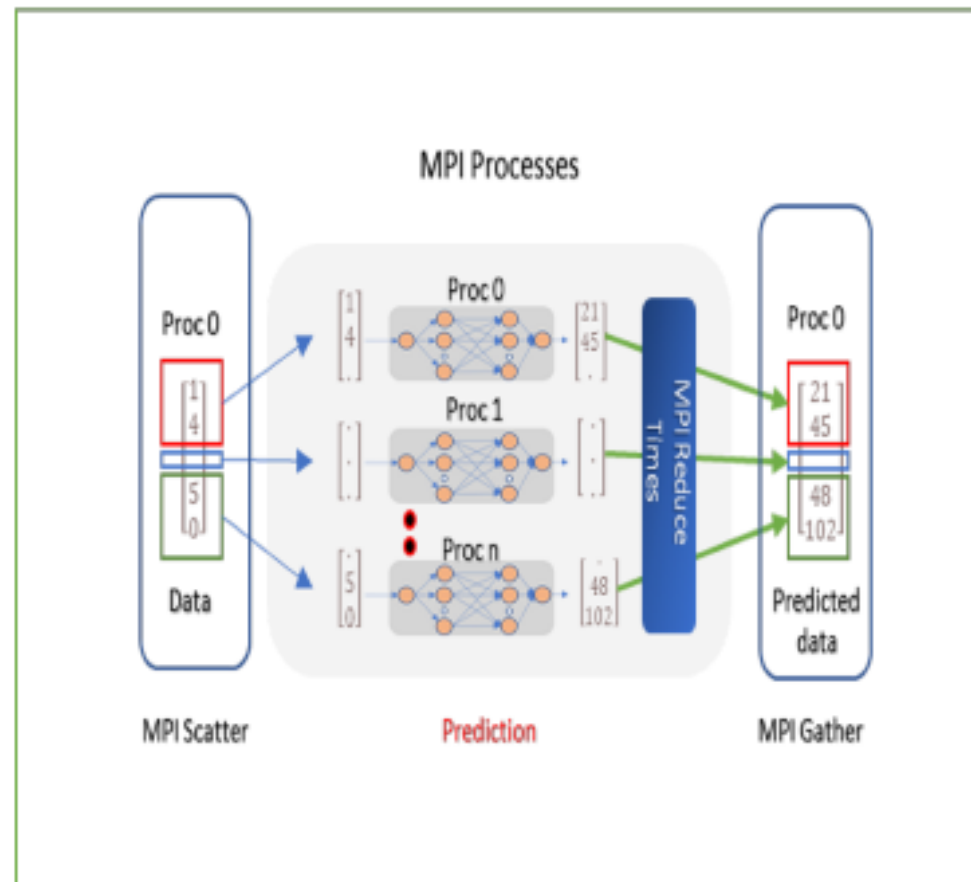
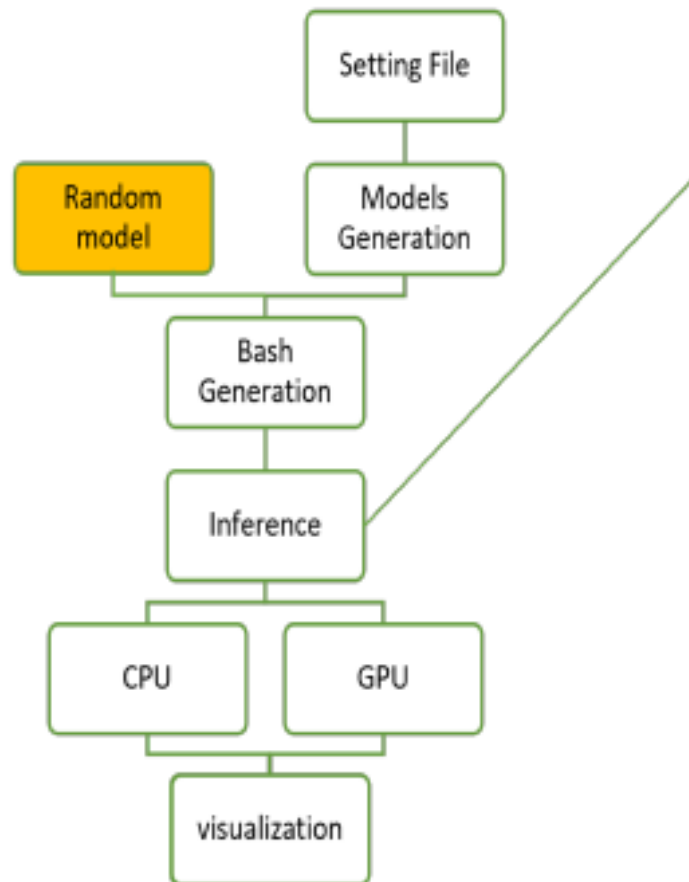
PLATEFORME DE BENCHMARK

ENTRAINEMENT: PYTORCH, TENSORFLOW...

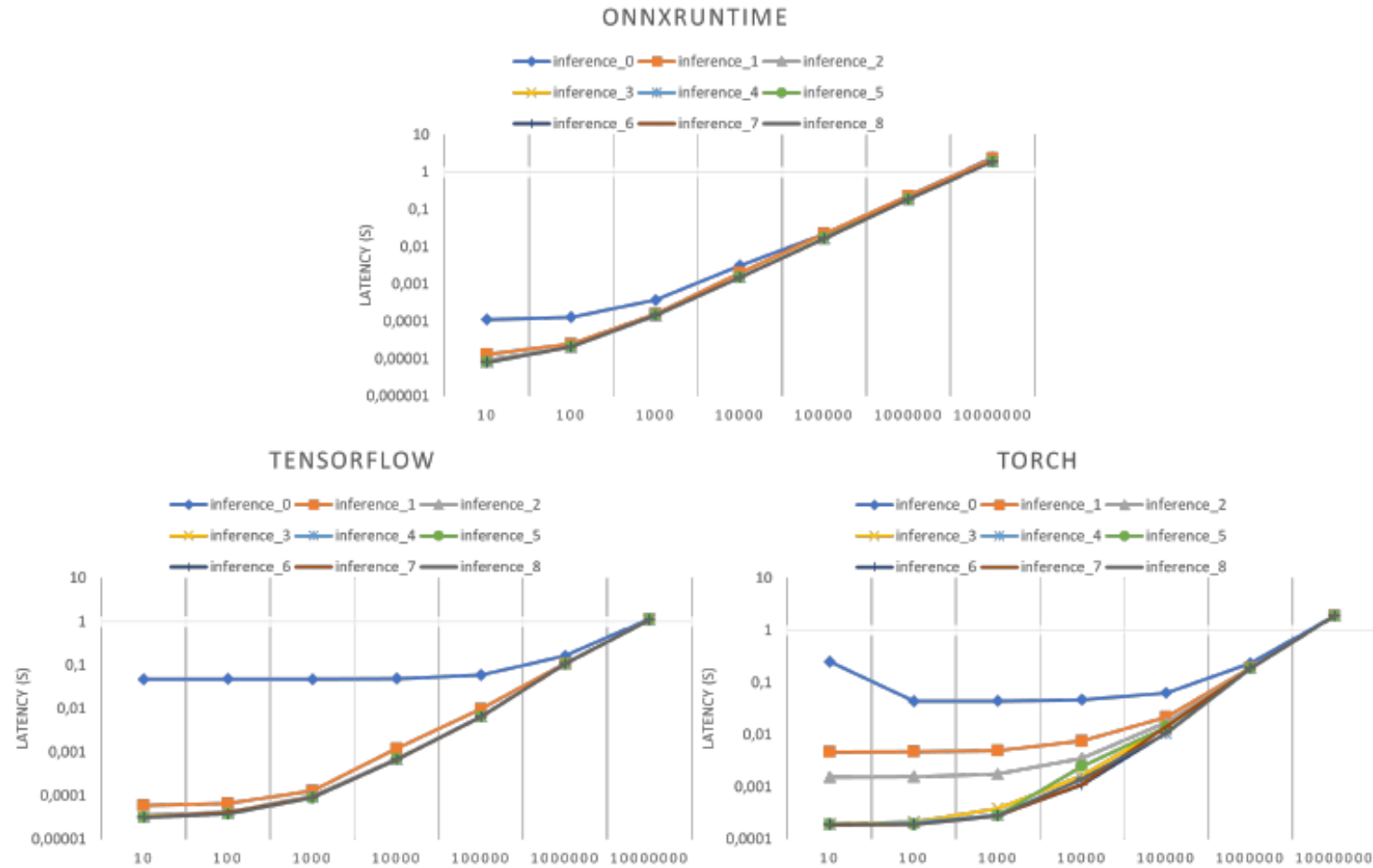


PLATEFORME DE BENCHMARK

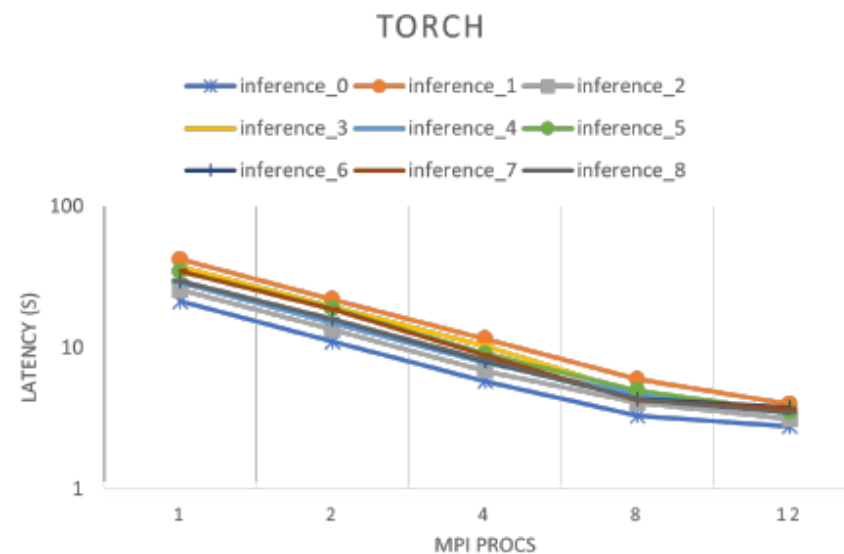
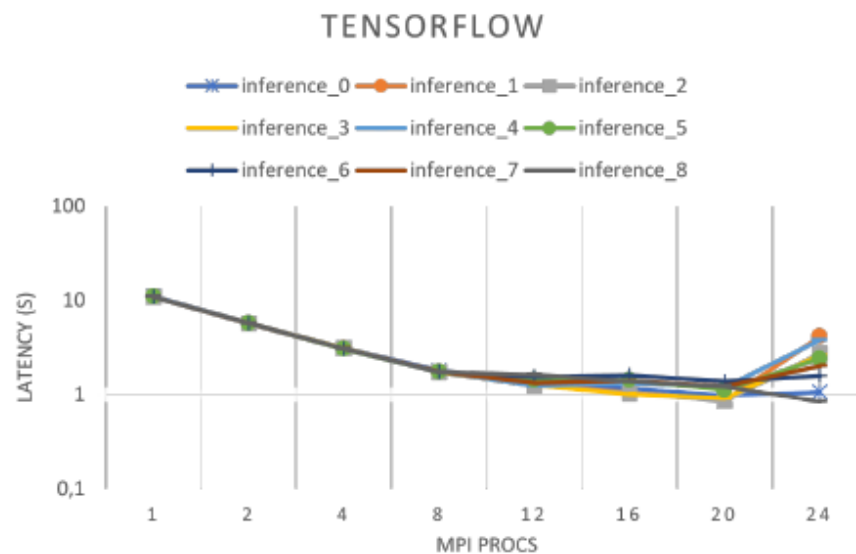
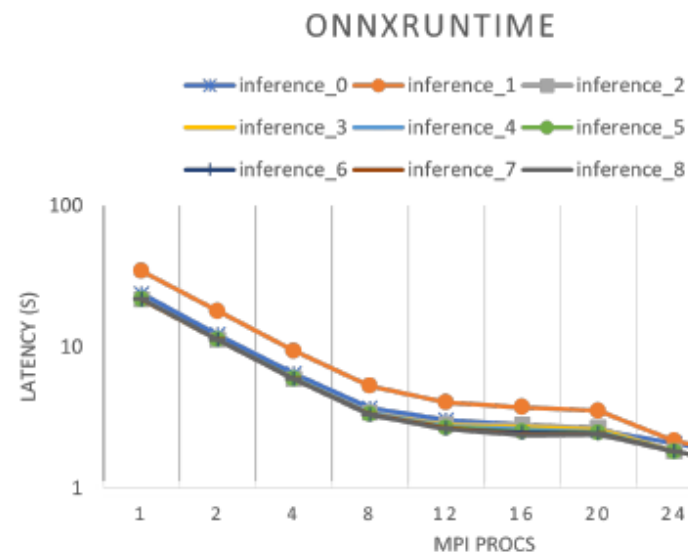
INFERENCE: TORCH, TENSORFLOW, ONNXRUNTIME...



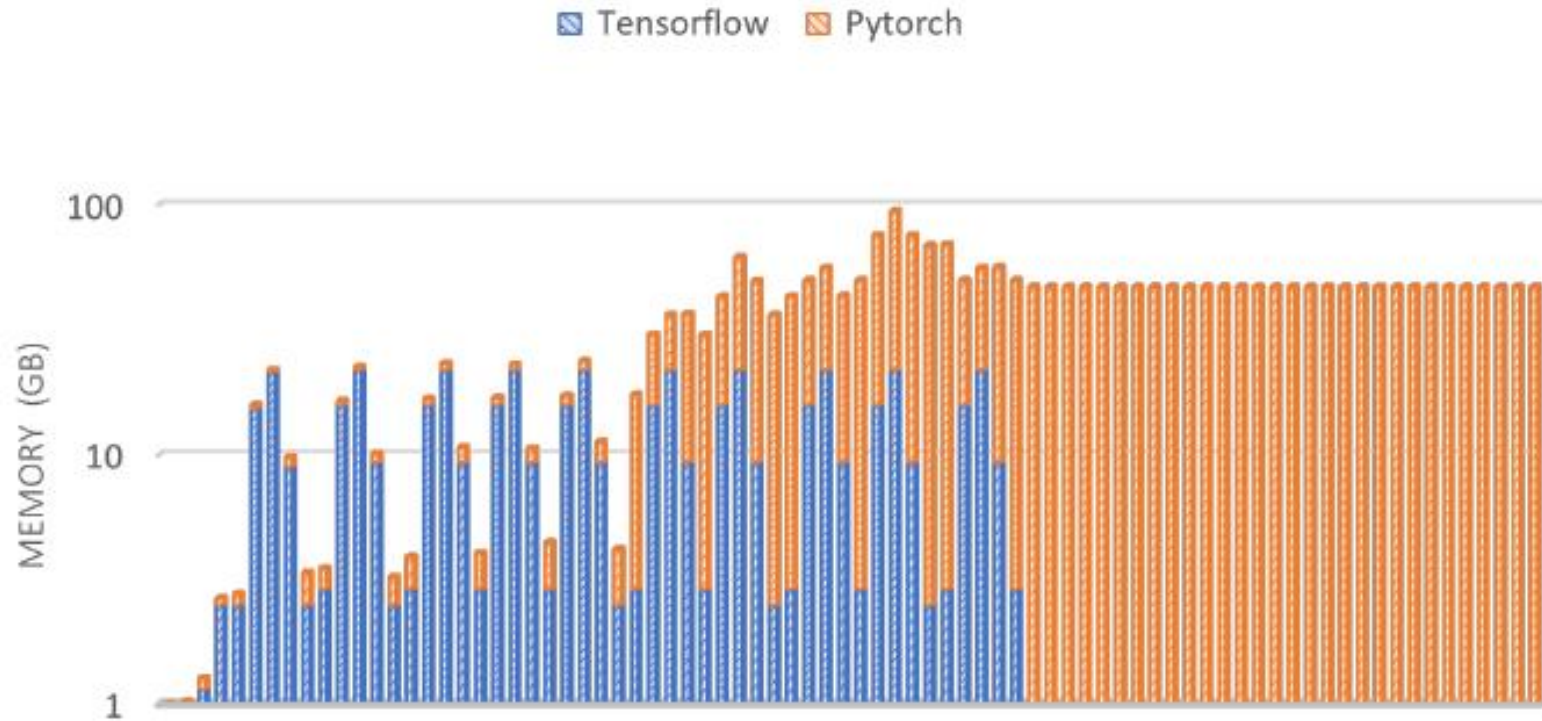
MODÈLE NON LINÉAIRE FONCTION DU BATCH SIZE (MONDELE:NL 1-4-16-32-1)



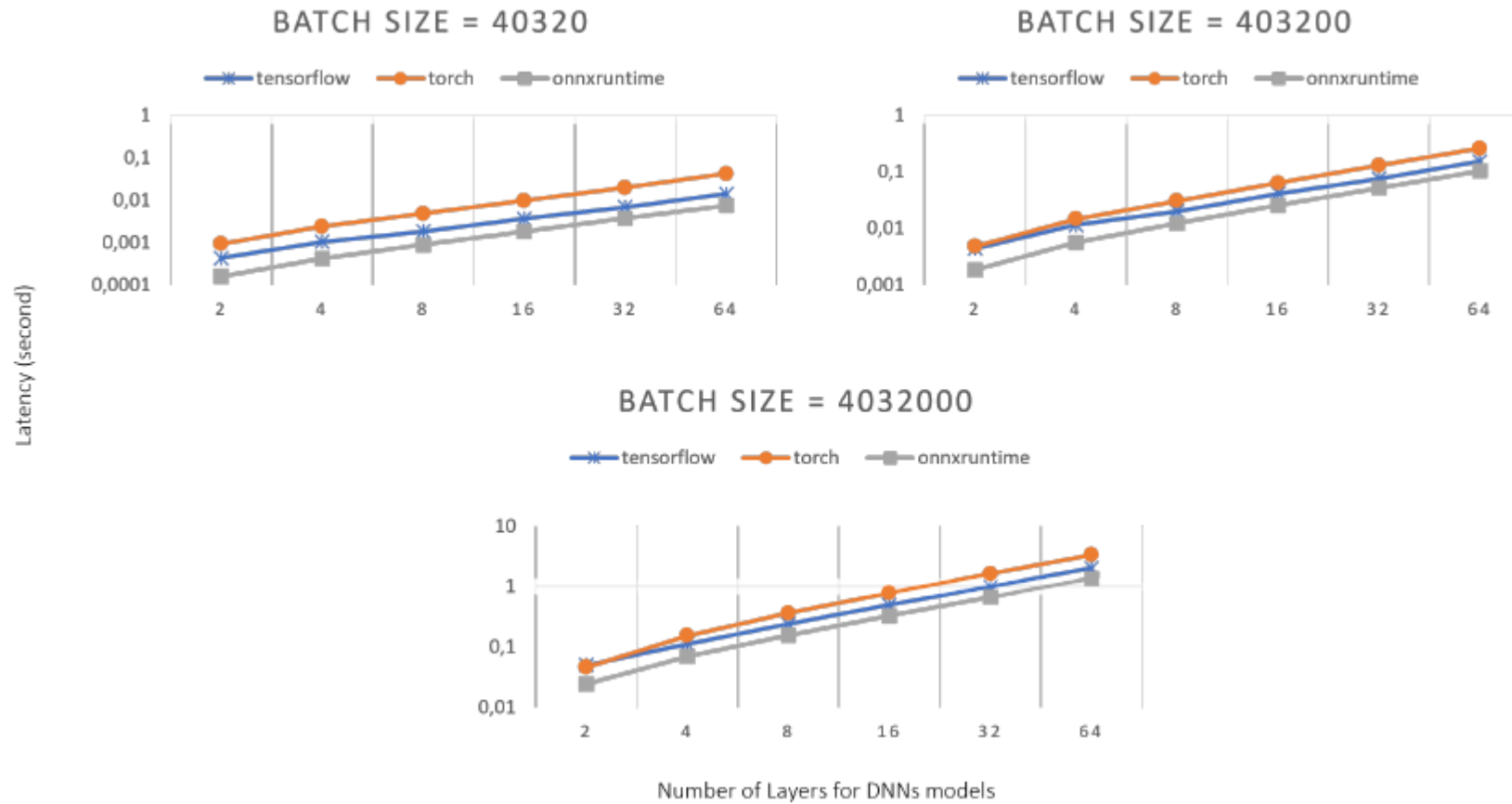
SCALABILITE MPI (MONDELE:NL 1-4-16-32-1, BATCH SIZE=10E8)



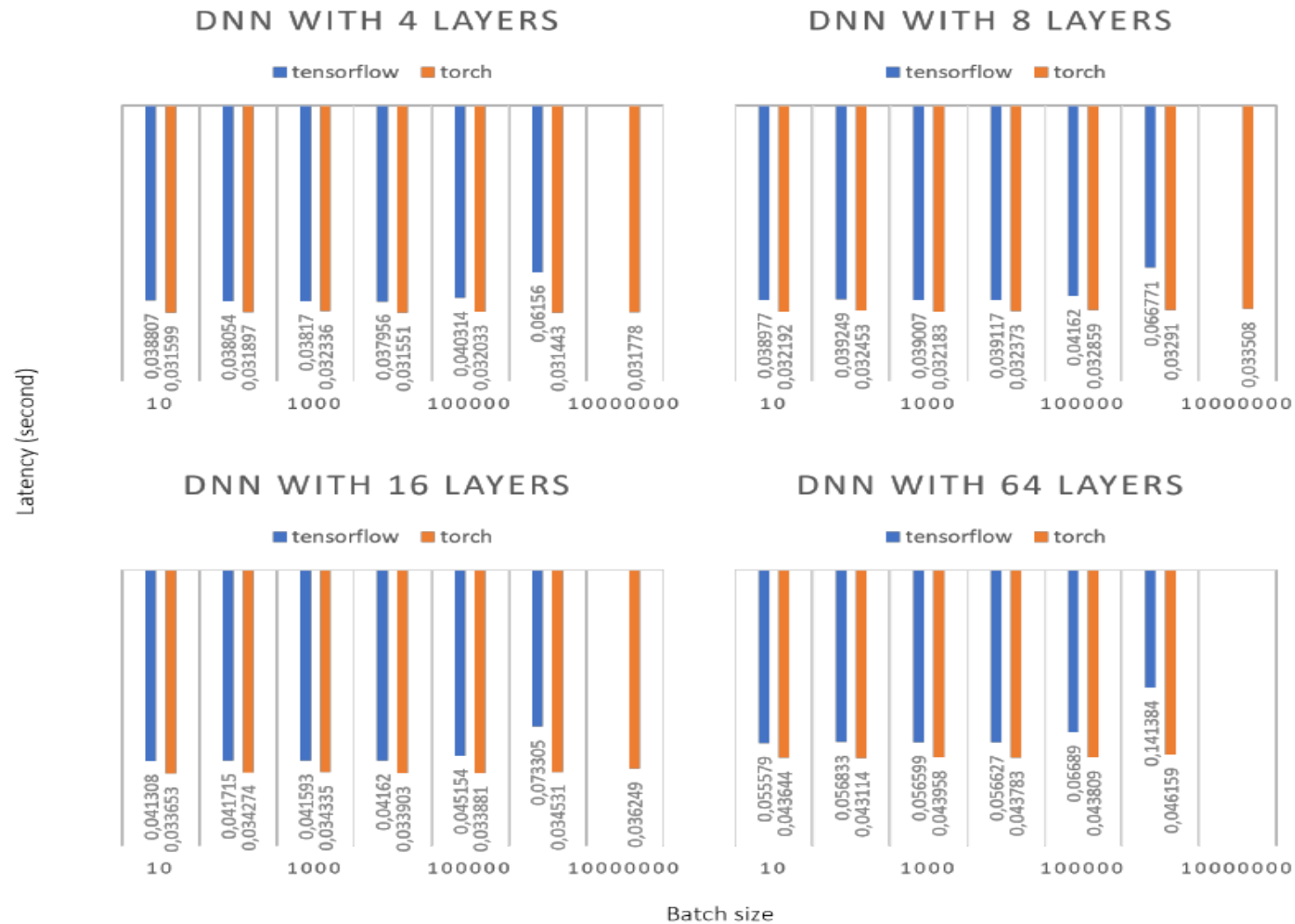
PROFILAGE MÉMOIRE



SCALABILITE NOMBRE DE COUCHE DU DNN (2-10N-2)



SCALABILITÉ SUR GPU



LOI DNN « GETUP » DANS GEOXIM



LAWS GEOXIM: SOLID PHASE ELASTIC PROPERTIES

- Elastic properties : computation in several stages

- Solid System bulk and shear moduli (K_s , G_s)

- Standard averages

- Voigt bound (arithmetic) : $M_v = \sum_{\alpha \text{ solid phase}} F_{\alpha} M_{\alpha}$
 - Reuss bound (harmonic) : $\frac{1}{M_R} = \sum_{\alpha \text{ solid phase}} F_{\alpha} \frac{1}{M_{\alpha}}$
 - Voigt-Reuss-Hill average $M_{VRH} = \frac{1}{2}(M_v + M_R)$

- If no Reactive Transport

- **SolidElasticModuliLawConfig**
 - Solid elastic properties are given in tables

- With reactive Transport

- **GeochemicalSolidElasticModuliLawConfig**
 - Inputs are implicitly defined
 - Pure Mineral Elastic properties are defined in a database
 - Defined in [external-data](#)
 - With mandatory columns Young and Poisson
 - Mapping between minerals of the database and geochemical minerals

```
<geoxim-law name="SolidElasticModuliLawConfig">

  <input>
    <rock-volume-fraction>[Phase]Rock::VolumeFraction</rock-
volume-fraction>
  </input>

  <parameters>
    <homogeneisation-method>Voigt</homogeneisation-method>

    <table-poisson-coefficient>0.3</table-poisson-coefficient>
    <table-young-modulus>10.e+9</table-young-modulus>
  </parameters>

</geoxim-law>
```

```
<geoxim-lawname="GeochemicalSolidElasticModuliLawConfig">

  <parameters>
    <homogeneisation-method>VoigtReussHill</homogeneisation-method>

    <mechanical-database>dtbMeca</mechanical-database>

    <mineral-model-mapping>
      <!--Syntax : Mineral: MecaMineral -->
      <map>Calcite:Calcite</map>
      <map>QuartzA:Quartz</map>
    </mineral-model-mapping>

  </parameters>

</geoxim-law>
```

LAWS GEOXIM: ELASTIC PROPERTIES

- System bulk and shear moduli (K , G) knowing (ϕ , K_S , G_S)

- Hashin-Shtrikman upper bound

$$K(\phi) = \frac{4K_S G_S (1-\phi)}{3K_S \phi + 4G_S} \quad G(\phi) = \frac{(1-\phi)G_S (9K_S + 8G_S)}{K_S (9 + 6\phi) + G_S (8 + 12\phi)}$$

- Service **HashinShtrinkmanElasticModuliLawConfig**

- Implicit inputs and outputs

- Simple Law from Bemer et al 2004

$$K(\phi) = K_S \frac{1}{1 + \frac{\alpha_K \phi}{1-\phi}} \quad G(\phi) = G_S \frac{1}{1 + \frac{\alpha_G \phi}{1-\phi}}$$

- Service **ElasticModuliLawConfig**

- Implicit inputs and outputs

- Service **ByZoneElasticModuliLawConfig**

- Similar with parameters defined by zones

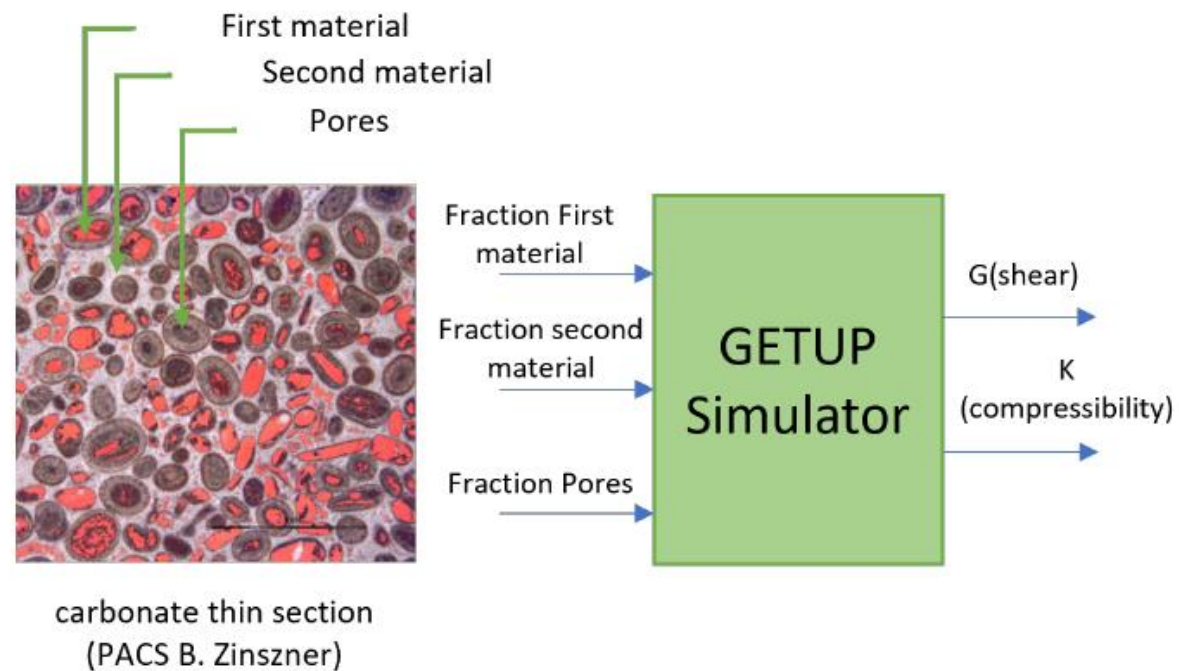
```
<geoxim-law name="HashinShtrinkmanElasticModuliLawConfig">
</geoxim-law>
```

```
<geoxim-law name="ElasticModuliLawConfig">
  <parameters>
    <alpha-bulk>7</alpha-bulk>
    <alpha-shear>12</alpha-shear>
    <max-acceptable-porosity>0.49</ max-acceptable-porosity>
  </parameters>
</geoxim-law>
```

```
<geoxim-law name="ByZoneElasticModuliLawConfig">
  <parameter>
    <zonation>[System]System::Facies</zonation>
  </parameter>
  <by-zone-parameters>
    <zone-id>1</zone-id>
    <parameters>
      <alpha-bulk>14</alpha-bulk>
      <alpha-shear>8</alpha-shear>
    </parameters>
  </by-zone-parameters>
  <by-zone-parameters>
    <zone-id>2</zone-id>
    <parameters>
      <alpha-bulk>14</alpha-bulk>
      <alpha-shear>8</alpha-shear>
    </parameters>
  </by-zone-parameters>
</geoxim-law>
```

- Intérêt pour les utilisateurs métiers
- Difficile à intégrer comme librairie d'ArcGeoSim
- Evaluation explicite de ces propriétés

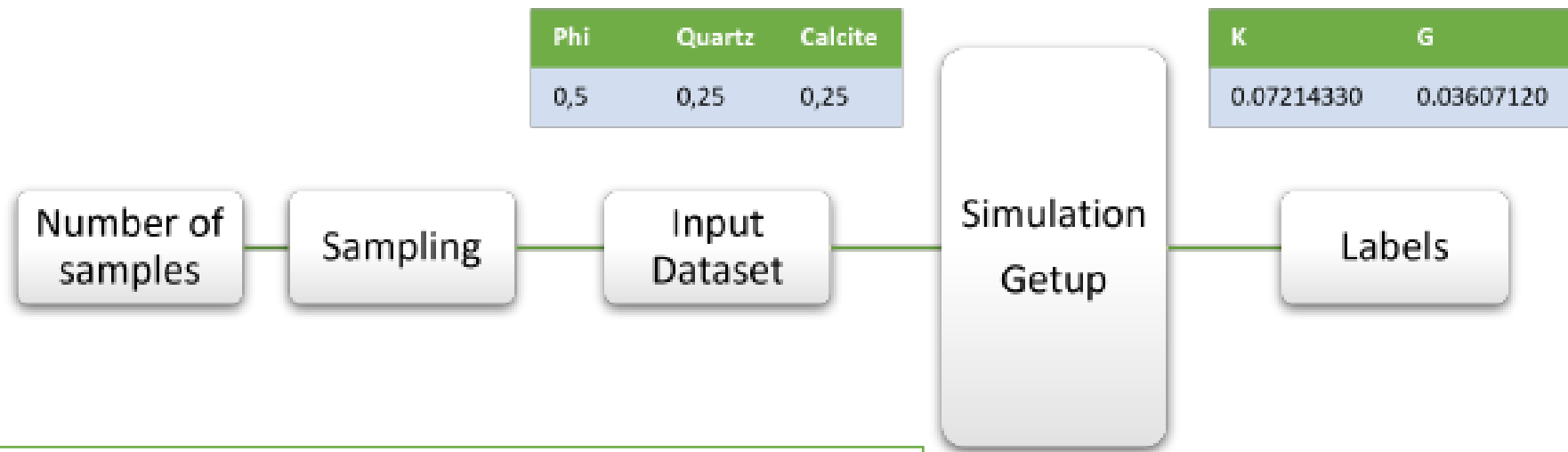
GETUP



ECHANTILLONNAGE ET DATA SET

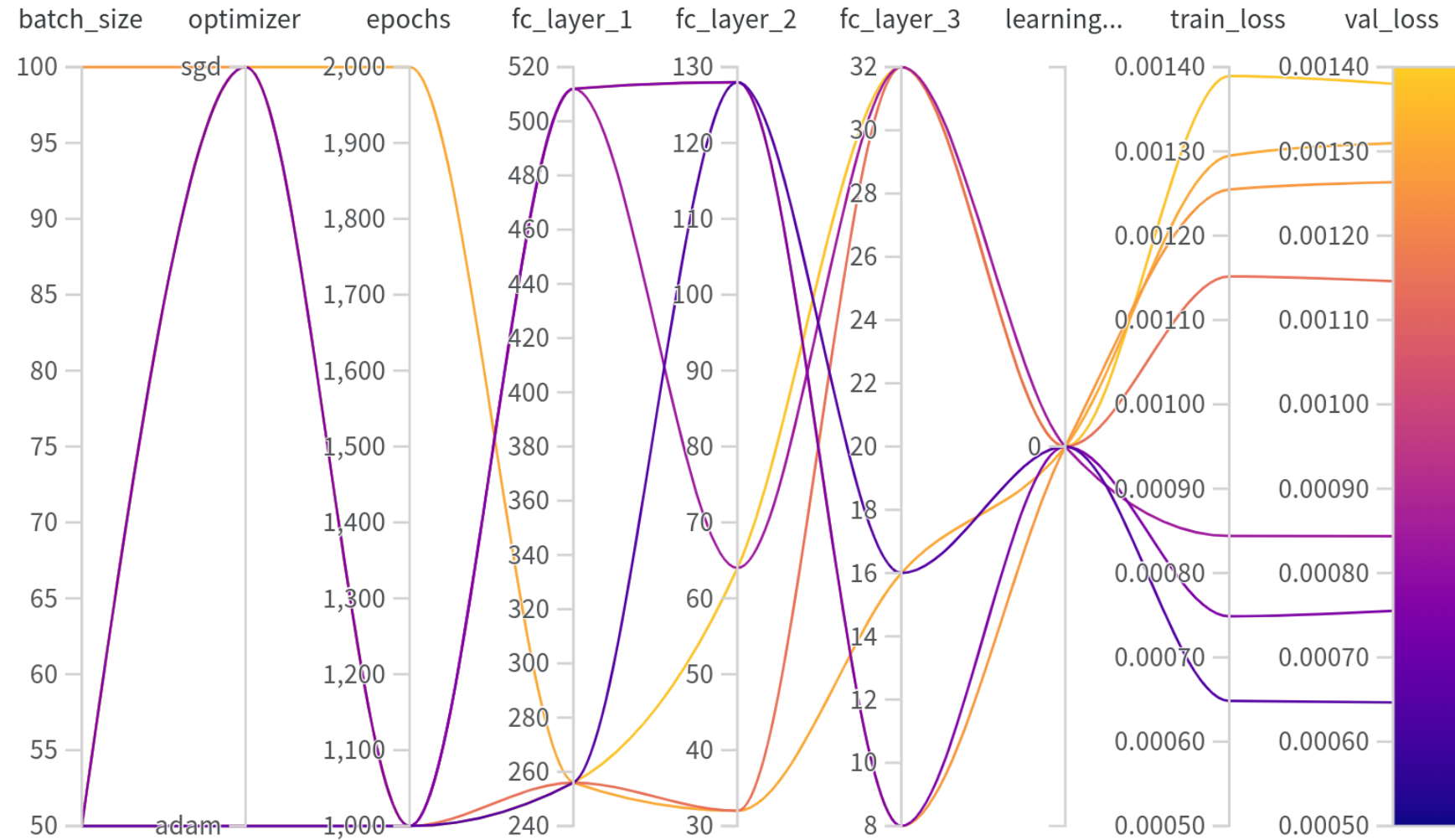
Phi in [0,0.5]

$$\text{Phi} + F_{\text{Quartz}} + F_{\text{Calcite}} = 1$$



2 Minéraux: Hypercube Latin (100000 échantillons)
6 Minéraux: Dirichlet

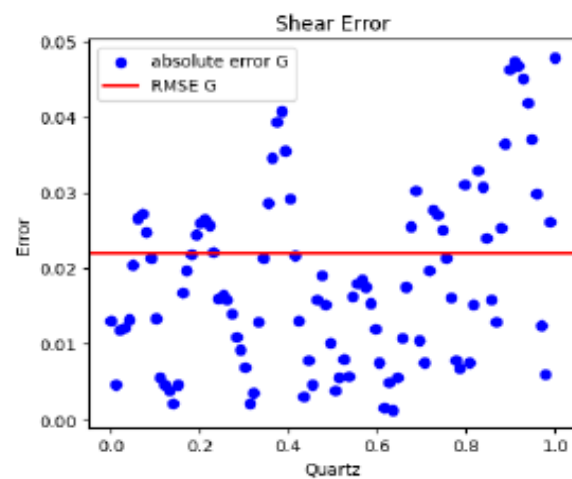
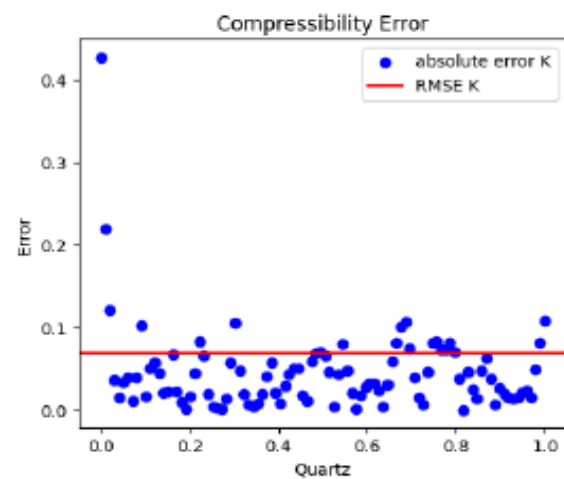
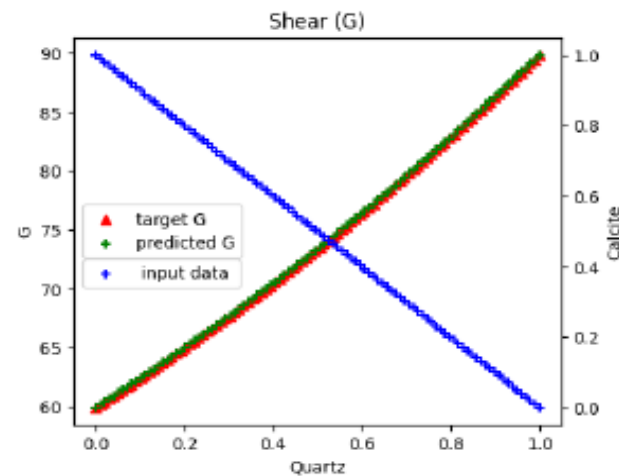
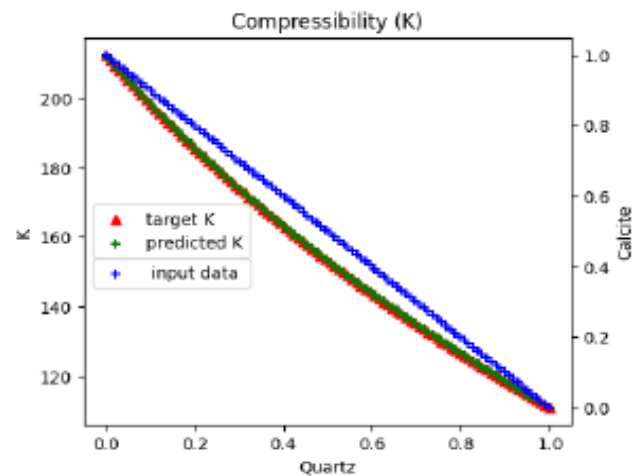
ENTRAINEMENT HYPERPARAMETRES 2 MINERAUX



ENTRAINEMENT 2 ET 6 RESEAUX DE NEURONES « GETUP »

Matériaux	Neurones	3 layers	loss_train	loss_val
3	400	[256, 128, 16]	0.0006483	0.0006465
7	256	[64, 128 , 64]	0.1481	0.1497

TEST RESEAUX 3 INPUTS



INFERENCE ONNX DANS LES LOIS

```
<makefile>

<needed-packages>
  <package name="arcane" />
  <package name="onnx" />
</needed-packages>

<files language="service">
  <file header="false">OpenNeuralNetworkXLawConfig</file>
</files>

<files language="law[inference=onnx]">
  <file>OpenNeuralNetworkXLawType</file>
</files>

</makefile>
```

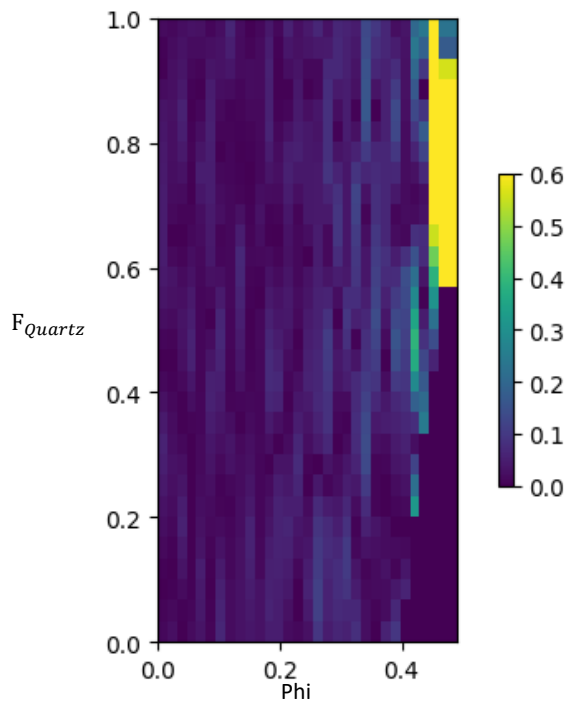
config.xml
Compilation time

file .arc
runtime

```
<geoxim-law name="OpenNeuralNetworkXLawConfig">
  <onnx-file-name>./model_3_2.onnx</onnx-file-name>
  <outputs>
    <prop-xpath>[System] System::BulkModulus</prop-xpath>
    <prop-xpath>[System] System::ShearModulus</prop-xpath>
  </outputs>
  <inputs>
    <prop-xpath>[SubSystem] Fluid::VolumeFraction</prop-xpath>
    <prop-xpath>[ChemicalPhase] QuartzA::XVolumeFraction</prop-xpath>
    <prop-xpath>[ChemicalPhase] Calcite::XVolumeFraction</prop-xpath>
  </inputs>
</geoxim-law>
```

SIMULATION GEOXIM

ERREUR ENTRE UNE TABLE* GETUP ET NOTRE RÉSEAU

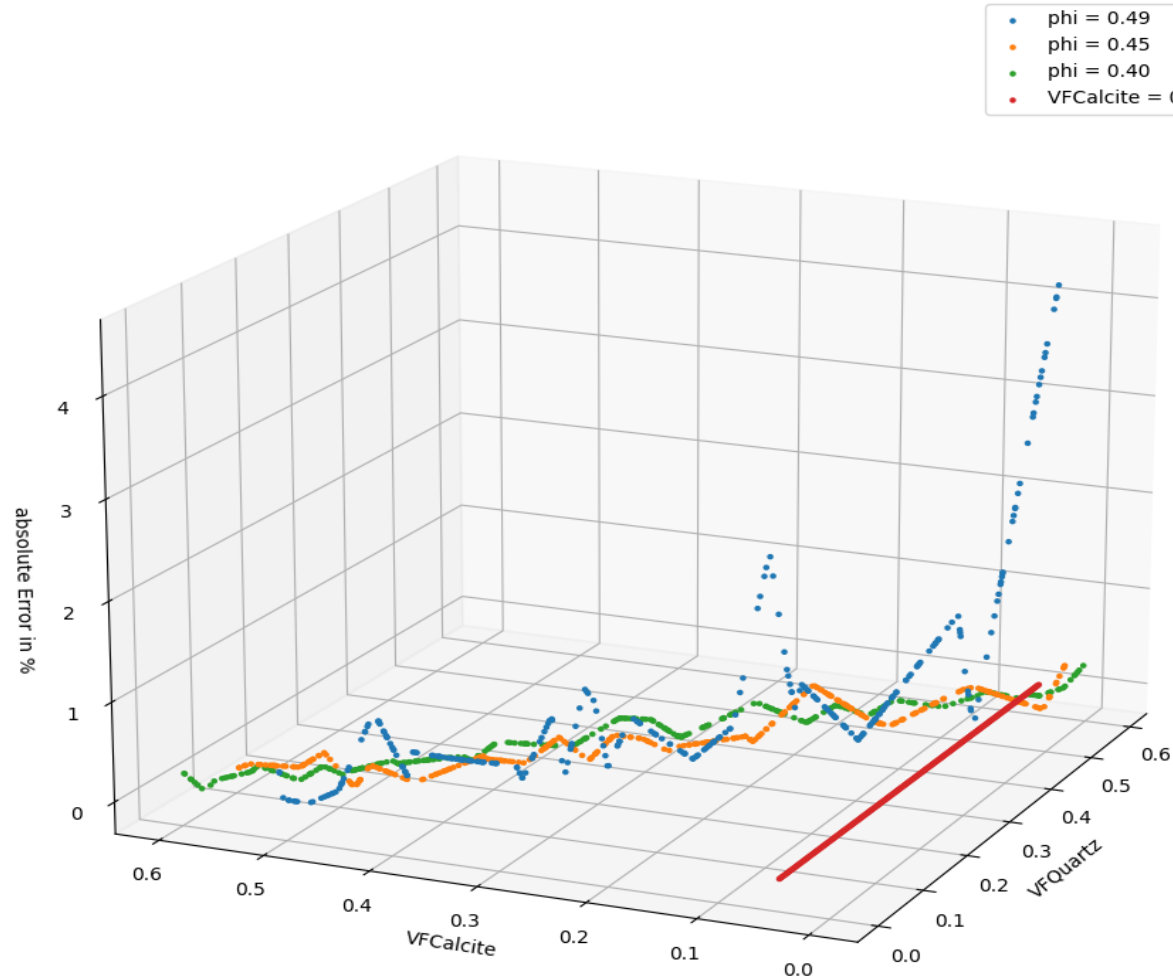


	Module d'élasticité (K)	Module de cisaillement (G)
Erreur relative minimale	0.0%	0.0%
Erreur relative moyenne	0,111%	0,089%
Erreur relative maximale	4,360%	3,611%
Ecart type	0,427%	0,323%
Quantile d'ordre 95%	0,225%	0,278%

*table à pas constant de taille 30 x 30
 Time in [0.0,0.49] s
 F_{Quartz} in [0.45, 0.585] m^3

ERREUR RESEAU DE NEURONES A HAUTES POROSITÉS

Erreur pour différents phi, en fonction de VFQuartz et VFCalcite

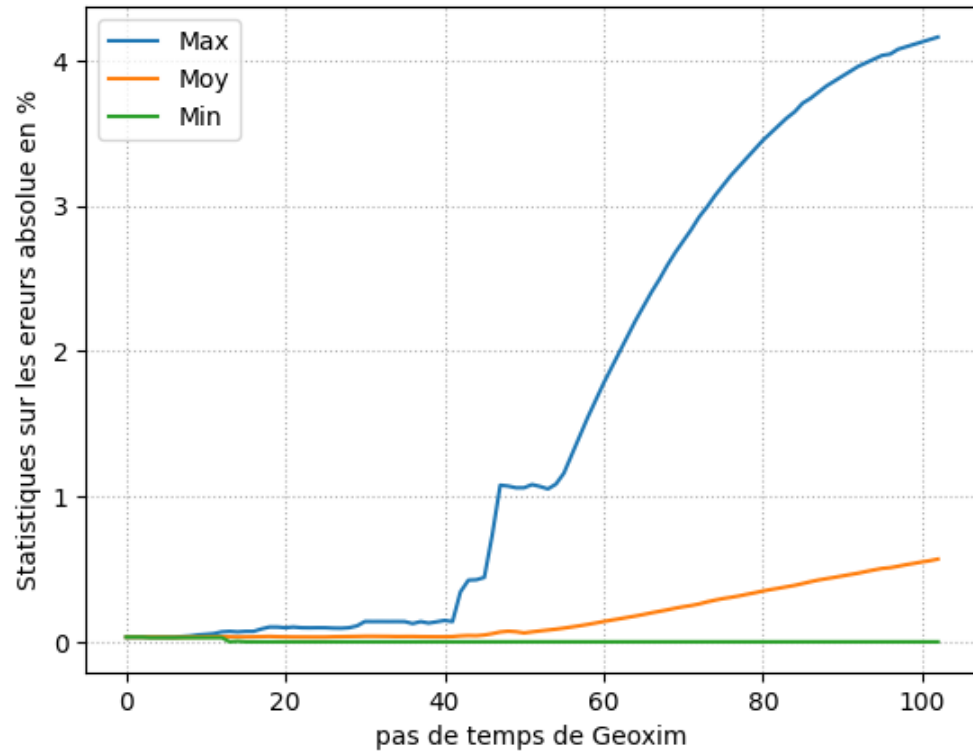


- Erreur sensiblement plus haute à $\phi = 0.49$
- Grande erreur pour $F_{Calcite} < 0.045$

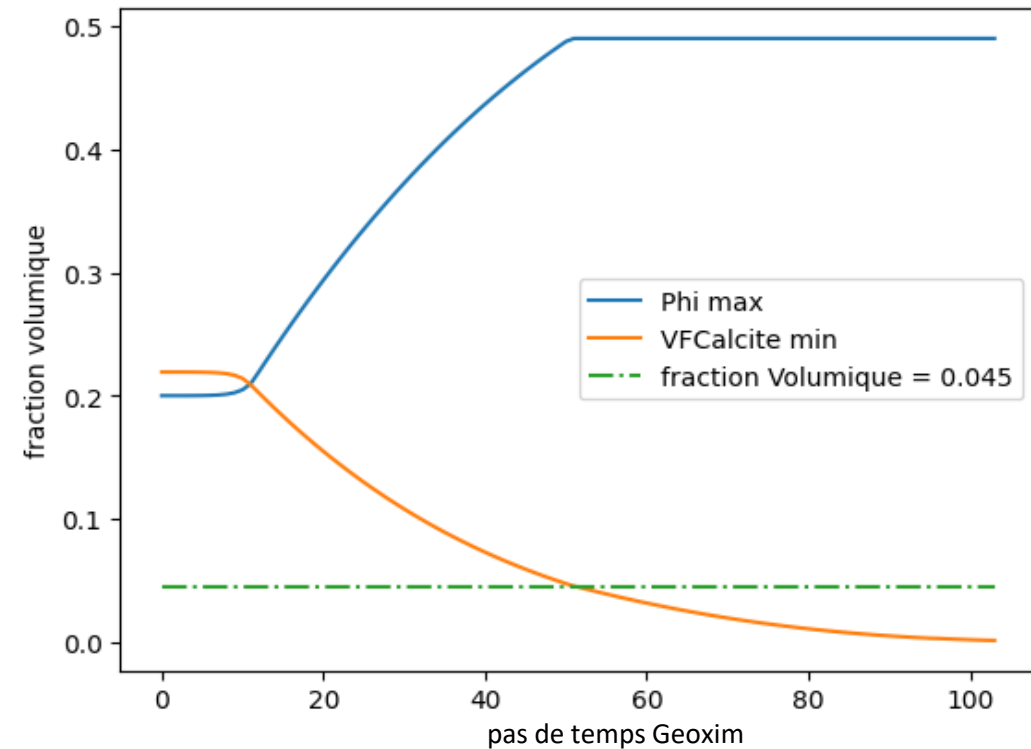
Erreur relative du réseau sur K en fonction de F_{Quartz} $F_{Calcite}$ pour $\phi \in [0.40, 0.45, 0.49]$
(Erreur en %)

ERREUR RESEAU DE NEURONES AU COURS DE LA SIMULATION GEOXIM

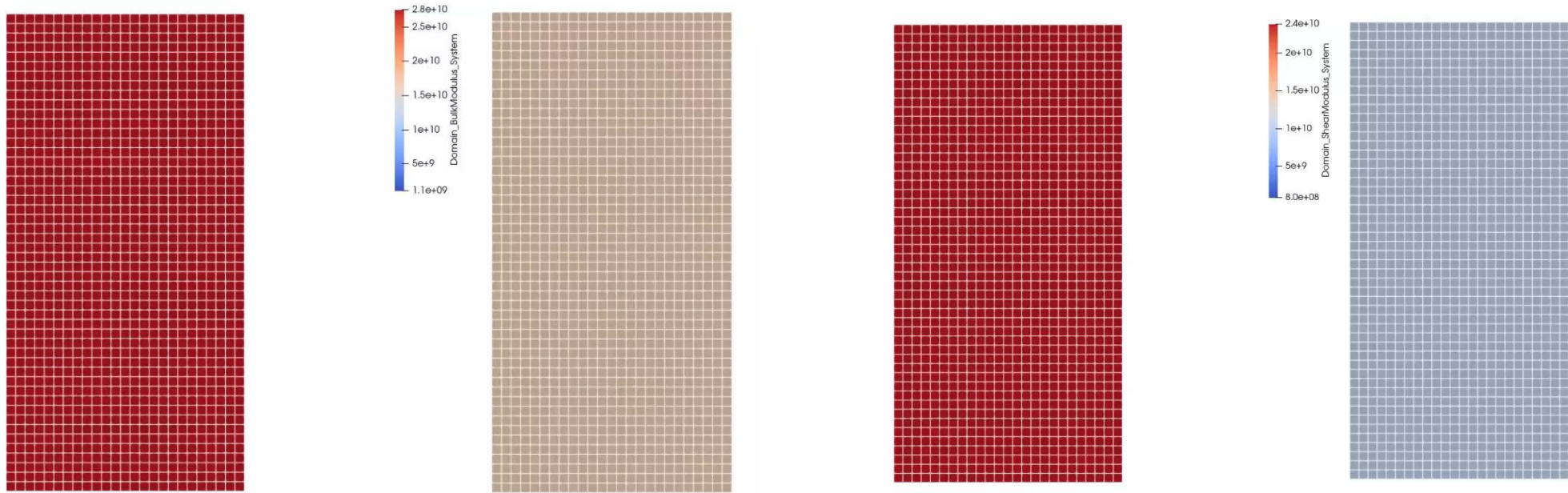
statistiques des erreurs en fonction du pas de temps pour K



Évolution de la porosité et de $F_{Calcite}$ à chaque itération



RESULTATS SIMULATION GETUP VS LOIS ANALYTIQUES



Différences sur K en fonction
du temps
(incluant le déplacement x80)

Différences sur G en fonction
du temps
(incluant le déplacement x80)

Innovating for energy

Find us on:

 www.ifpenergiesnouvelles.com

 @IFPENinnovation

